

Электронный научный журнал "Математическое моделирование, компьютерный и натурный эксперимент в естественных науках" <http://mathmod.esrae.ru/>

URL статьи: [mathmod.esrae.ru/15-48](http://mathmod.esrae.ru/15-48)

Ссылка для цитирования этой статьи:

Ерофеев В.И., Мальханов А.О., Титов Д.Ю. Дисперсия и затухание магнитоупругих волн // Математическое моделирование, компьютерный и натурный эксперимент в естественных науках. 2017. №3.

*Выполнено при поддержке Российского научного фонда (грант № 15-19-10026).*

УДК 530

## ДИСПЕРСИЯ И ЗАТУХАНИЕ МАГНИТОУПРУГИХ ВОЛН

Ерофеев В.И.<sup>1,2</sup>, Мальханов А.О.<sup>2</sup>, Титов Д.Ю.<sup>3</sup>

<sup>1</sup>Нижегородский государственный технический университет им. Р.Е. Алексеева, Россия, Нижний Новгород, [erof.vi@yandex.ru](mailto:erof.vi@yandex.ru)

<sup>2</sup>Институт проблем машиностроения Российской академии наук, Россия, Нижний Новгород, [alexey.malkhanov@gmail.com](mailto:alexey.malkhanov@gmail.com)

<sup>3</sup>Нижегородский государственный технический университет им. Р.Е. Алексеева, Россия, Нижний Новгород, [era@nntu.ru](mailto:era@nntu.ru)

## DISPERSION AND ATTENUATION OF MAGNETOELASTIC WAVES

Erofeev V.I.<sup>1,2</sup>, Malkhanov A.O.<sup>2</sup>, Titov D.Yu.<sup>3</sup>

<sup>1</sup>R.E. Alekseev Nyzhny Novgorod Technical University, Russia, Nyzhny Novgorod, [erof.vi@yandex.ru](mailto:erof.vi@yandex.ru)

<sup>2</sup>Mechanical Engineering Research Institute of the Russian Academy of Sciences, Russia, Nizhny Novgorod, [alexey.malkhanov@gmail.com](mailto:alexey.malkhanov@gmail.com)

<sup>3</sup>R.E. Alekseev Nyzhny Novgorod Technical University, Russia, Nyzhny Novgorod, [era@nntu.ru](mailto:era@nntu.ru)

**Аннотация.** Исследовано влияние внешнего магнитного поля и конечной электропроводности материала на дисперсионные и диссипативные характеристики продольной упругой волны, выражающееся, в частности, в формировании ускоренной и замедленной волн по отношению к волне, распространяющейся в материале с бесконечной проводимостью.

**Ключевые слова:** магнитоупругая волна, дисперсия, затухание.

**Abstract.** The effect of an external magnetic field and the finite electrical conductivity of a material on the dispersion and dissipative characteristics of a longitudinal elastic wave is studied, which is manifested, in particular, in the formation of accelerated and decelerated waves with respect to a wave propagating in a material with infinite conductivity.

**Keywords:** magnetoelastic wave, dispersion, damping.

Динамические процессы в упругой среде, характеризуемой вектором перемещений  $\vec{u}$ , и находящейся во внешнем магнитном поле с вектором напряженности  $\vec{H}$  описывается системой уравнений [1]:

$$\left\{ \begin{array}{l} \frac{\partial^2 u_i}{\partial t^2} = \frac{\partial \sigma_{ik}}{\partial x_k} + \frac{1}{4\pi\rho} \left[ \text{rot } \vec{H}, \vec{H} \right]_i, \\ \frac{\partial H_i}{\partial t} = \text{rot}_i \left[ \frac{\partial \vec{u}}{\partial t}, \vec{H} \right], \\ \text{div } \vec{H} = 0. \end{array} \right. \quad (1)$$

где  $\rho$  - плотность среды,  $\sigma_{ik}$  - тензор напряжений.

Магнитное поле представим в виде суммы постоянной составляющей ( $H_0$ ) и малого возмущения ( $\vec{h}$ ):  $\vec{H} = \vec{H}_0 n + \vec{h}$ ,

Рассмотрим распространение продольной волны в линейной среде. При этом будем полагать, что внешнее постоянное магнитное поле с напряженностью  $H_0$  перпендикулярно направлению распространения волны. В этом случае

$$\vec{u} = (u_1, 0, 0) \equiv u(x, t); \vec{h} = (0, 0, h_3) \equiv h(x, t); \vec{H} = (0, 0, H_0 + h),$$

и система (1) примет вид:

$$\left\{ \begin{array}{l} \frac{\partial^2 u}{\partial t^2} - c_0^2 \frac{\partial^2 u}{\partial x^2} + \frac{H_0}{4\pi\rho} \frac{\partial h}{\partial x} = 0, \\ \frac{\partial h}{\partial t} + H_0 \frac{\partial^2 u}{\partial x \partial t} - \frac{c^2}{4\pi\sigma} \frac{\partial^2 h}{\partial x^2} = 0 \end{array} \right. \quad (2)$$

где  $c_0$  - скорость продольной волны в отсутствии магнитного поля,  $c$  - скорость света,  $\sigma$  - проводимость.

Рассмотрим сначала случай, когда магнитное поле стационарно, т.е.  $h(x, t) \equiv h(x)$ . Система (2) примет вид:

$$\left\{ \begin{array}{l} \frac{\partial^2 u}{\partial t^2} - c_0^2 \frac{\partial^2 u}{\partial x^2} + \frac{H_0}{4\pi\rho} \frac{\partial h}{\partial x} = 0, \\ \frac{4\pi\sigma H_0}{c^2} \frac{\partial^2 u}{\partial x \partial t} = \frac{\partial^2 h}{\partial x^2}. \end{array} \right. \quad (3)$$

Интегрируя последнее уравнение системы (3) по  $x$ , и полагая постоянную интегрирования равной нулю, систему (3) сведем к уравнению:

$$\frac{\partial^2 u}{\partial t^2} - c_0^2 \frac{\partial^2 u}{\partial x^2} + \frac{\sigma H_0}{c^2 \rho} \frac{\partial u}{\partial t} = 0 \quad (4)$$

Откуда видно, что внешнее магнитное поле  $H_0$  приводит к возникновению затухания (вязкого трения).

Для дальнейшего анализа, приведем систему (2) к безразмерному виду:

$$\left\{ \begin{array}{l} \frac{\partial^2 \tilde{u}}{\partial \tilde{t}^2} - \frac{\partial^2 \tilde{u}}{\partial \tilde{x}^2} + C \frac{\partial \tilde{h}}{\partial \tilde{x}} = 0, \\ \frac{\partial \tilde{h}}{\partial \tilde{t}} + \frac{\partial^2 \tilde{u}}{\partial \tilde{x} \partial \tilde{t}} - \frac{1}{\Sigma} \frac{\partial^2 \tilde{h}}{\partial \tilde{x}^2} = 0 \end{array} \right. \quad (5)$$

где  $C = \frac{c_A^2}{c_0^2}$  - безразмерная скорость,  $\Sigma = \frac{\sigma}{\sigma_0}$  - безразмерная проводимость,

$$c_A = \sqrt{\frac{H_0^2}{4\pi\rho}} - \text{скорость волны Альфвена.}$$

Полагая, что  $\tilde{u}(x, t)$  и  $\tilde{h}(x, t)$  - это гармонические волны вида

$$\tilde{u} = \tilde{u}_0 e^{i(\omega t - kx)}, \quad (6)$$

$$\tilde{h} = \tilde{h}_0 e^{i(\omega t - kx)}$$

подставим выражения (6) в систему (5), получим систему линейных алгебраических уравнений относительно  $\tilde{u}_0$  и  $\tilde{h}_0$ . Приравнявая детерминант полученной системы к нулю, получим связь волнового числа и частоты продольной волны деформации при наличии магнитного поля, которая представляет собой комплексное биквадратное по волновому числу уравнение:

$$\frac{1}{\Sigma} k^4 - \left( \frac{1}{\Sigma} \omega^2 - i\omega(1+C) \right) k^2 - i\omega^3 = 0 \quad (7)$$

Для идеально проводящего тела ( $\Sigma = \infty$ ) уравнение (7) сводится к виду:

$$(1+C)k^2 + \omega^2 = 0 \quad (8)$$

Из (8) видно, что магнитное поле определяет величину фазовой скорости  $V_\phi = \sqrt{1+C}$ , чем больше величина магнитного поля, тем больше фазовая скорость волны.

Конечная проводимость среды ( $\Sigma \neq \infty$ ) приводит к появлению мнимой части волнового числа, которая характеризует затухание волны. Результаты численного решения уравнения (7) для конечной проводимости представлены на рис.1-3. Расчет проводился при следующих значениях безразмерных скорости и проводимости:  $C=0.1$ ,  $\Sigma=2$ . Было учтено, что величина  $C = \frac{c_A^2}{c_0^2} < 1$ , поскольку скорость волны Альфвена, как правило, меньше скорости продольной волны.

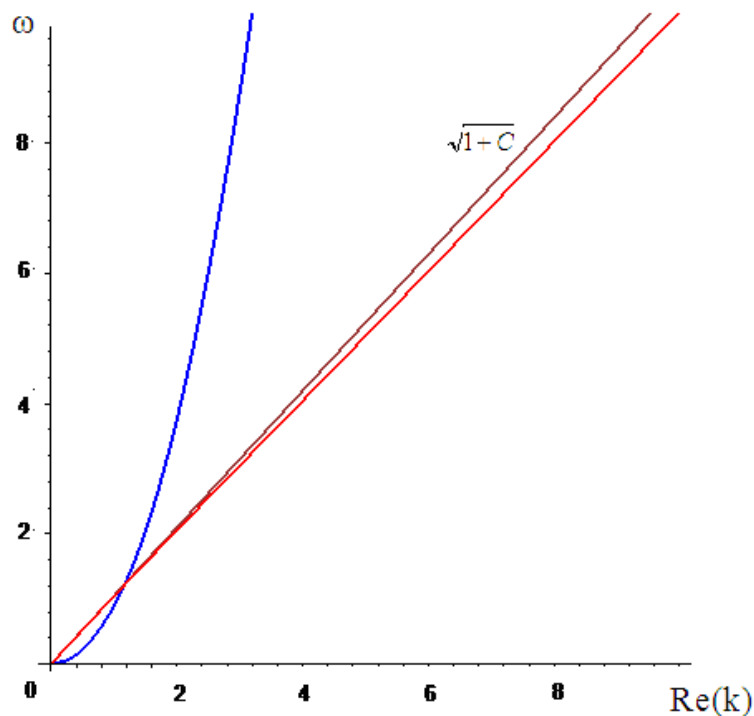


Рис.1.

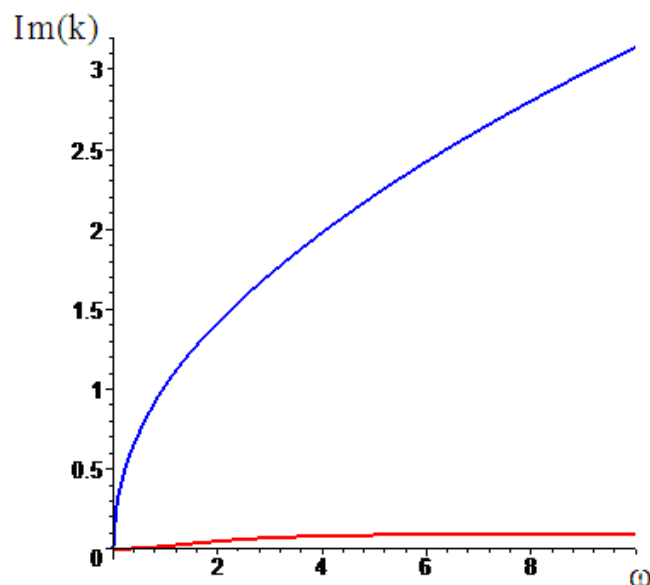


Рис.2.

На рис.1 для сравнения представлена также зависимость волнового числа от частоты для случая бесконечной проводимости. Видно, что в случае конечной проводимости имеется две волны, причем одна из них замедлена, а вторая ускорена относительно волны, соответствующей среде с бесконечной проводимостью.

На рис.3 изображены графики отношений действительных частей волновых чисел к мнимым. Видно, что первая волна распространяется почти без затухания и, с ростом частоты действительная часть волнового числа значительно преобладает над мнимой. Вторая волна распространяется также почти без затухания, но с ростом частоты преобладание действительной части волнового числа над мнимой уменьшается.

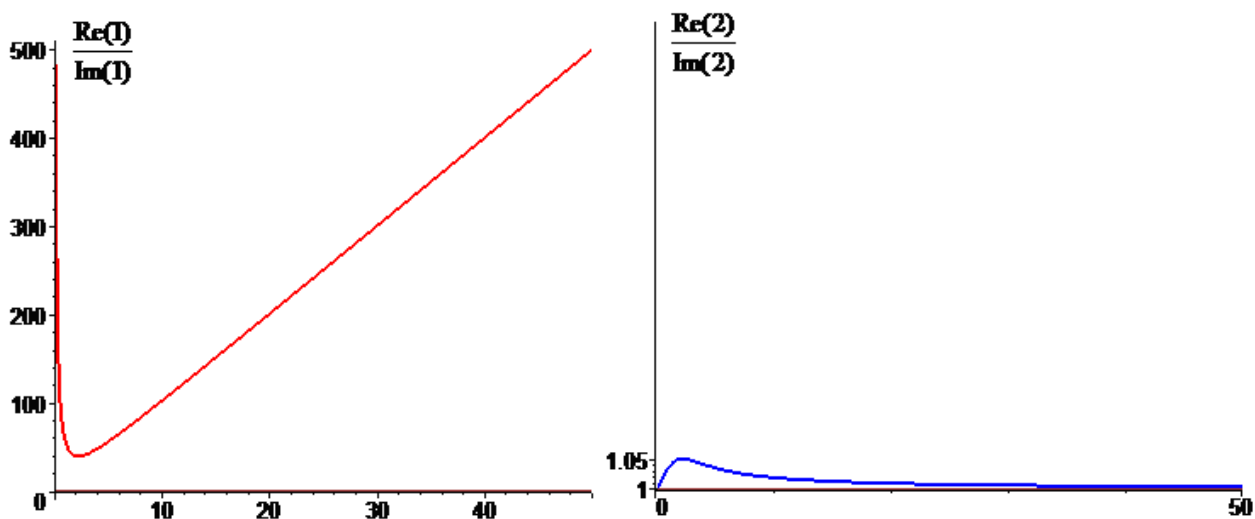


Рис.3.

Фазовая скорость первой волны изображена на рис.4. При нулевой частоте она совпадает с фазовой скоростью продольной волны в среде с бесконечной проводимостью и с ростом частоты стремится к 1, которой в «размерных» координатах соответствует скорость продольной волны  $C_0$ . Таким образом, магнитное поле приводит к увеличению фазовой скорости первой волны при нулевой частоте.

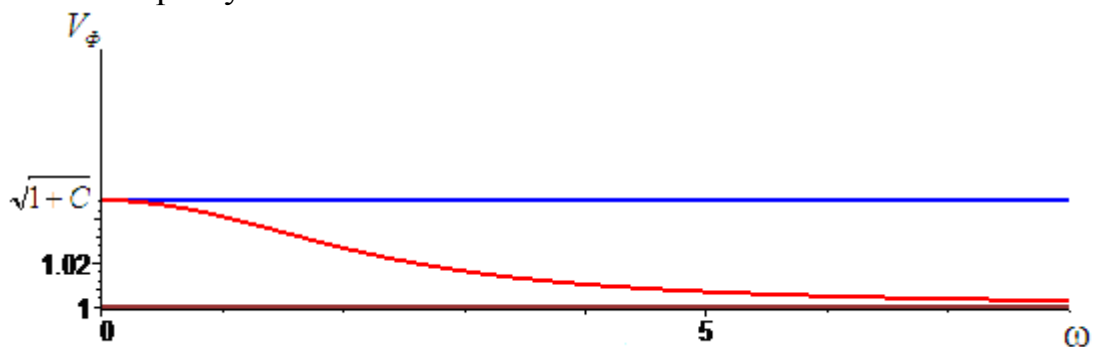


Рис.4

Фазовая скорость второй волны растет с ростом частоты рис. 5.

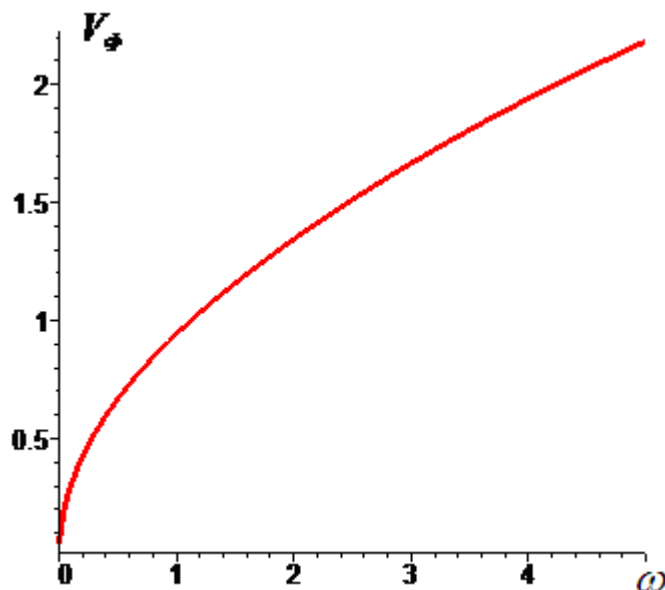


Рис.5.

Рассмотрим систему (5) при  $C = 0$ . В этом случае её можно свести к уравнению для возмущения магнитного поля  $\tilde{h}$ :

$$\frac{1}{\Sigma} \frac{\partial^4 \tilde{h}}{\partial x^2 \partial t^2} - \frac{\partial^3 \tilde{h}}{\partial t^3} - \frac{1}{\Sigma} \frac{\partial^4 \tilde{h}}{\partial x^4} + \frac{\partial^3 \tilde{h}}{\partial x^2 \partial t} = 0 \quad (9)$$

Подставим выражение для  $\tilde{h}$  из (6) получим связь волнового числа и частоты продольной волны деформации для рассматриваемого случая:

$$\frac{1}{\Sigma} k^4 - \left( \frac{1}{\Sigma} \omega^2 - i\omega \right) k^2 - i\omega^3 = 0 \quad (10)$$

Решая это уравнение, получим:

$$k = \pm \omega, k = \pm \sqrt{-\frac{i\omega}{\Sigma}} \quad (11)$$

Откуда видно, что поведение первой волны аналогично поведению продольной волны в среде при отсутствии внешнего магнитного поля. Частотные зависимости действительной и мнимой частей волнового числа второй волны изображены на рис. 6-7.

Отношение действительной к мнимой части волнового числа второй волны постоянно и равно 1. Фазовая скорость этой волны растет с ростом частоты как изображено на рис. 8.

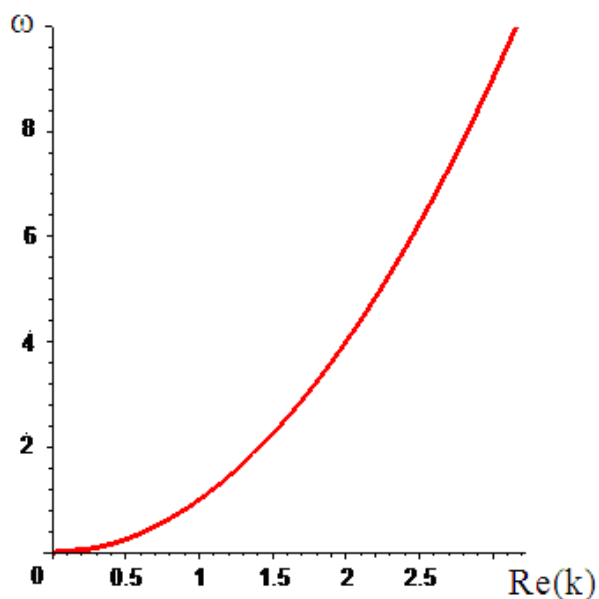


Рис.6.

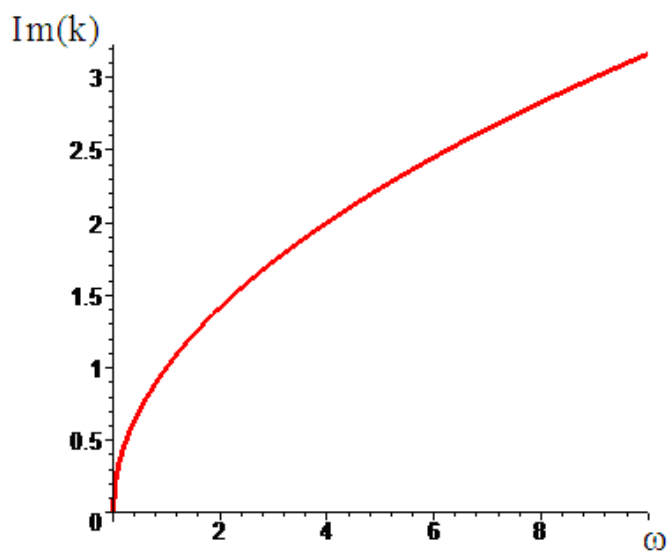


Рис.7.

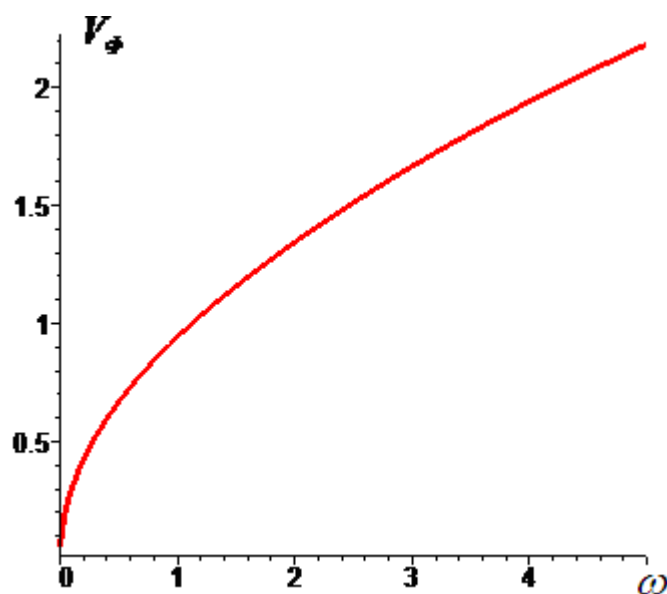


Рис.8.

Работа выполнялась при финансовой поддержке Российского научного фонда (грант № 15-19-10026).

### Литература

1. Bagdoyev A.G., Erofeyev V.I., Shekoyan A.V. Wave Dynamics of Generalized Continua. Springer-Verlag. Berlin, Heidelberg. 2016. 274 p.